











移中,所有计数器的和始终保持不变(注意,这里的始终也是对应于原始的 2-计数机器的状态上),则每一次可能存在重置 0 操作都精确地模仿了有界的 2-计数机器上的测 0 操作.

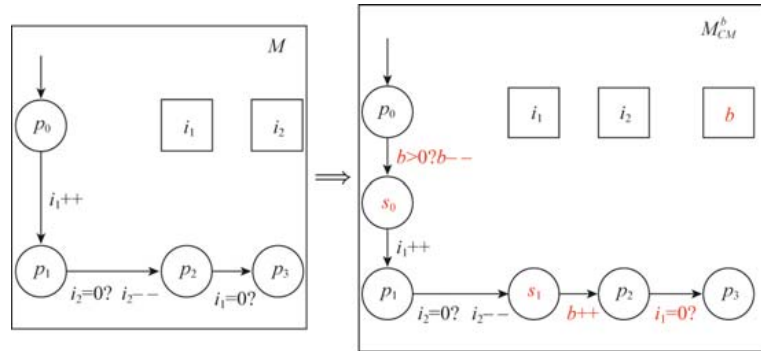


Fig.3 Construct bounded 2-counter machine from 2-counter machine  
图 3 从 2-计数机器构造相应的有界的 2-计数机器

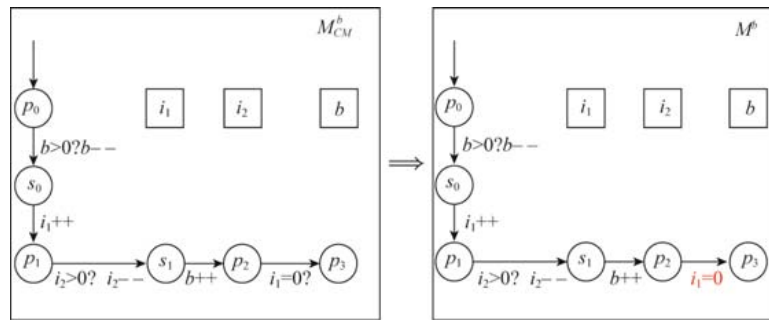


Fig.4  $M^b$  simulate bounded 2-counter machine  
图 4  $M^b$  模拟有界的 2-计数机器

引理 3.1.  $M_{CM}^b$  是如图 3 构造的有界的 2-计数机器, $M^b$  是如图 4 构造的模型(以下的状态  $p, q$  均对应于图 3 中原始的 2-计数机器  $M$  中的状态).

- 如果  $M_{CM}^b$  中存在  $\langle p, (i_1, i_2, b) \rangle \mapsto^* \langle q, (i'_1, i'_2, b') \rangle$  的格局迁移序列,则  $M^b$  中也存在相同的格局迁移序列,且  $i_1 + i_2 + b = i'_1 + i'_2 + b'$ .
- 如果  $M^b$  中存在  $\langle p, (i_1, i_2, b) \rangle \mapsto^* \langle q, (i'_1, i'_2, b') \rangle$  的格局迁移序列,则  $i_1 + i_2 + b \geq i'_1 + i'_2 + b'$ . 但是,如果  $i_1 + i_2 + b = i'_1 + i'_2 + b'$ ,  $M_{CM}^b$  中必然存在  $\langle p, (i_1, i_2, b) \rangle \mapsto^* \langle q, (i'_1, i'_2, b') \rangle$  的格局迁移序列.

### 3.2 函数 $f(\mathbf{n})$ 的正向计算和逆向计算

函数  $f(\mathbf{n})$  的定义域为  $k$  维的自然数向量  $\mathbf{n}$ ,且严格单调,即对任意  $i \in [1 \dots k]$ ,若  $n'_i > n_i$ , 则有

$$f(n_1, \dots, n'_i, \dots, n_k) > f(n_1, \dots, n_i, \dots, n_k).$$

因为我们要研究的模型不是图灵完备的, $f(\mathbf{n})$  的正向和逆向计算可能不精确,但这并不影响我们的结论,因为  $M^b$  的格局迁移中不会增大  $f(\mathbf{n})$  的值.因此,如果  $M_H$  计算出的上界值  $B$  不大于  $f(\mathbf{n})$ ,则经过  $M^b$  后, $B$  依旧不大于  $f(\mathbf{n})$ ,  $M_H^{-1}$  逆向计算后得到的  $\mathbf{n}' \triangleright \mathbf{n}$ .

定义 3.2. 给定输入  $\mathbf{n}$ ,如果  $M_H$  计算出的最大的值为  $f(\mathbf{n})$ ,则称  $M_H$  弱计算函数  $f(\mathbf{n})$ .

给定输入  $B'$ ,设  $M_H^{-1}$  逆向计算出来的值的集合为  $S$ ,满足:

- 若  $f(\mathbf{n})=B'$ ,则  $\mathbf{n} \in S$ ;

- 若  $\mathbf{n} \in S$ , 则  $f(\mathbf{n}) \leq B'$ ,

则称  $M_H^{-1}$  逆向弱计算函数  $f(\mathbf{n})$ .

如图 2 所示, 模型  $M$  的格局的迁移由  $M_H$ 、 $M^b$ 、 $M_H^{-1}$  组成。 $M_H$  完成计算后, 触发  $M^b$  中的  $p_0$ , 并把计算得到的  $B$  传递给  $M^b$ 。 $M^b$  中格局迁移到状态为  $p_f$  的格局时触发  $M_H^{-1}$  执行。3 部分共享相同的计数器。 $M_H$  的最终状态连接  $M^b$  中的  $p_0, p_f$  连接到  $M_H^{-1}$  的初始状态。

**定理 3.**  $f$  是严格单调的  $k$  元函数。 $M_H$  弱计算函数  $f(\mathbf{n})$   $M_H^{-1}$  逆向弱计算函数  $f(\mathbf{n})$ 。 $M_{CM}^b$  是如图 3 构造的有界的 2-计数器,  $M^b$  是图 4 构造的模拟有界的 2-计数器的模型。 $M_H$  的输入是  $k$  维向量  $\mathbf{n}$ 。

- 若在  $M_{CM}^b$  中存在  $\langle p_0, (0, 0, b) \rangle \mapsto^* \langle p_f, (0, 0, b') \rangle$  的格局迁移序列, 则  $M_H^{-1}$  逆向计算得到的最大值是  $\mathbf{n}$ ;
- 若  $M_H^{-1}$  逆向计算得到的  $\mathbf{n}' \geq \mathbf{n}$ , 则在  $M_{CM}^b$  中必然存在  $\langle p_0, (0, 0, b) \rangle \mapsto^* \langle p_f, (0, 0, b) \rangle$  的格局迁移序列。

证明:

• 在  $M_{CM}^b$  中存在  $\langle p_0, (0, 0, b) \rangle \mapsto^* \langle p_f, (0, 0, b') \rangle$  的格局迁移序列, 由引理 3.1 可知,  $M^b$  中也存在相同的格局迁移序列  $\langle p_0, (0, 0, b) \rangle \mapsto^* \langle p_f, (0, 0, b') \rangle$ , 且  $b = b' \leq f(\mathbf{n})$ 。又因为  $M_H^{-1}$  逆向弱计算  $f(\mathbf{n})$ , 所以  $M_H^{-1}$  输出的最大值是  $\mathbf{n}$ ;

• 若  $M_H^{-1}$  弱逆向计算得到的  $\mathbf{n}' \geq \mathbf{n}$ , 则传递给  $M_H^{-1}$  的  $b' \geq f(\mathbf{n})$ 。又由图 2 中 3 部分的连接情况可得,  $M^b$  中存在格局迁移序列  $\langle p_0, (0, 0, b) \rangle \mapsto^* \langle p_f, (i'_1, i'_2, b') \rangle$ , 又有  $M_H$  弱计算函数  $f(\mathbf{n})$ , 则  $f(\mathbf{n}) \geq b \geq b' + i'_1 + i'_2 \geq f(\mathbf{n})$ , 所以,  $b = b' = f(\mathbf{n})$ , 即  $M^b$  中存在格局迁移序列  $\langle p_0, (0, 0, b) \rangle \mapsto^* \langle p_f, (0, 0, b) \rangle$  ( $M^b$  的格局迁移中所有计数器  $s$  的和保持不变, 表明  $M^b$  中的每次重置 0 操作都精确地模拟了测 0), 由引理 3.1 可得,  $M_{CM}^b$  中必然存在  $\langle p_0, (0, 0, b) \rangle \mapsto^* \langle p_f, (0, 0, b) \rangle$  的格局迁移序列。证毕。□

#### 4 良结构下推系统的可覆盖性问题下界

本节考虑良结构下推系统的子模型: 状态为有限集而栈字符为向量, 即  $M = \langle P | P | < \infty, \Gamma = \mathbb{N}^{n+3}, \Delta \rangle$  (其中,  $n$  为要计算的函数给定的参数值)。该模型可正向和逆向弱计算 Hyper-Ackermann 函数的值。由定理 3 可得, 其可覆盖性问题是 Hyper-Ackermann 难的。

##### 4.1 (正向)弱计算 Hyper-Ackermann 函数

给定一个良结构下推系统  $M_f = \langle \bullet, \mathbb{N}^{n+3}, \Delta \rangle$ , 其中, 状态集为单字符集, 栈字符集为  $n+3$  维自然数向量的集合 (因为只有一个状态, 所以迁移规则中省去了状态, 仅描述栈上的迁移), 迁移规则为

$$\Delta = \begin{cases} r_1 : (k_n, k_{n-1}, \dots, k_0, t, x) \rightarrow (k_n, k_{n-1}, \dots, k_0 - 1, x, x) \\ r_2 : (k_n, k_{n-1}, \dots, k_0, t, x) \rightarrow (k_n, k_{n-1}, \dots, k_0, 0, x) (k_n, k_{n-1}, \dots, k_0, t - 1, x) \\ r_3 : \left( \underbrace{k_n, k_{n-1}, \dots, k_i, \dots, 0, 0, x}_{n+1} \right) \rightarrow \left( \underbrace{k_n, k_{n-1}, \dots, k_i - 1, x + 1, \dots, 0, 0, x}_{n+1} \right), i \in [1, n]. \\ r_4 : \left( \underbrace{0, 0, \dots, 0, 0, x}_{n+1} \right) (k'_n, k'_{n-1}, \dots, k'_0, t', x') \rightarrow (k'_n, k'_{n-1}, \dots, k'_0, t', x + 1) \end{cases}$$

按照迁移规则中所示, 栈向量的前  $n+1$  个分量都标记了下标, 例如  $k_0$  就表示该向量的从左向右第  $n+1$  个分量。以下描述都直接使用这一表示方法。规则  $r_1$  对栈顶元素进行在某些分量上值的修改;  $r_2$  将栈顶元素的分量进行修改并压入新向量  $(k_n, k_{n-1}, \dots, 0, x)$ ;  $r_3$  表示当  $i$  在  $[1, n]$  区间内 (含两端) 时, 都可执行  $r_3$  的迁移;  $r_4$  表示当栈顶的前  $n+2$  个分量都是 0 时, 可执行出栈操作, 并将最后一个分量值传递给栈顶的下一个元素, 形成新的栈顶。注意, 每条迁移规则都代表单调函数, 例如对  $r_4$ , 任何向量只要其所有分量值均不小于 0, 都有此迁移, 即

$$(p_n, p_{n-1}, \dots, p_0, te, xp) (k'_n, k'_{n-1}, \dots, k'_0, t', x') \rightarrow (k'_n, k'_{n-1}, \dots, k'_0, t', xp + 1).$$

这里写  $r_4$  只是方便理解。

**引理 4.1.**  $M_f$  可弱计算 Hyper-Ackermann 函数, 且

$$hyper(n) = \max \left\{ x+1 \mid \left\langle \bullet, \left( \frac{n+1, 0, \dots, 0, 0, n}{n+1} \right) \perp \right\rangle \mapsto^* \left\langle \bullet, \left( \frac{0, 0, \dots, 0, 0, x}{n+1} \right) \perp \right\rangle \right\},$$

其中,  $\perp$  为栈底元素.

证明:首先,因为如定义 2.2 所示,给定参数  $n$  后,Hyper-Ackermann 函数没有升幂操作(除了一开始的  $F_{\omega^\omega}(n) = F_{\omega^{n+1}}(n)$ ,  $F_{\omega^\omega}(n) = F_{\omega^{n+1}}(n)$ , 可直接应用  $F_\lambda(n) = F_{\lambda_n}(n)$ ,  $\lambda < \omega^\omega$  降幂),  $\omega^n \cdot k_n + \omega^{n-1} \cdot k_{n-1} + \dots + \omega^0 \cdot k_0$  的形式固定, 即最高幂次是  $n$ , 栈向量的前  $n+1$  个分量  $(k_n, k_{n-1}, \dots, k_0)$  对应于  $\omega^n \cdot k_n + \omega^{n-1} \cdot k_{n-1} + \dots + \omega^0 \cdot k_0$  的  $n+1$  个系数. 简单来说, 迁移规则  $r_1$  和  $r_2$  描述  $F_{\alpha+1}(n) = F_{\alpha^{n+1}}(n) = F_\alpha \left( \overbrace{F_\alpha(\dots F_\alpha(n)\dots)}^{n+1} \right)$ , 求出内层函数值(栈顶向量的前  $n+1$  个分量都是 0, 对应  $F_0(n)=n+1$ )之后应用  $r_4$  出栈, 并将内层结果值保存在最后一个分量上传递给下一个向量, 构成新栈顶进行计算. 迁移规则  $r_3$  对应 Hyper-Ackermann 函数计算规则  $F_\lambda(n) = F_{\lambda_n}(n)$ ,  $\lambda < \omega^\omega$ .

其次, 栈顶元素可分为以下 3 类.

(1) 栈顶为  $(k_n, k_{n-1}, \dots, k_0, t, x)$  形式, 对应接下来需要计算的 Hyper-Ackermann 函数为  $F_{\omega^n \cdot k_n + \omega^{n-1} \cdot k_{n-1} + \dots + \omega^0 \cdot k_0}^t(x)$ , 首先计算内层函数, 直接应用  $r_2$  入栈新元素  $(k_n, k_{n-1}, \dots, k_0, 0, x)$  表明接下来要计算  $F_{\omega^n \cdot k_n + \omega^{n-1} \cdot k_{n-1} + \dots + \omega^0 \cdot k_0}(x)$ , 并将  $(k_n, k_{n-1}, \dots, k_0, t-1, x)$  (对应  $F_{\omega^{n-1} \cdot k_{n-1} + \dots + \omega^0 \cdot k_0}^{t-1}(x)$ ) 变为栈顶的下一个元素. 根据归纳假设, 栈顶会变为  $\left( \frac{0, 0, \dots, 0, 0, x}{n+1} \right)$ , 对应  $F_0(x)$ , 即  $F_{\omega^n \cdot k_n + \omega^{n-1} \cdot k_{n-1} + \dots + \omega^0 \cdot k_0}(x)$  的结果为  $x+1$ . 再应用  $r_4$  将结果作为下一个函数的参数进行后续计算.

(2) 栈顶为  $\left( \frac{0, 0, \dots, 0, 0, x}{n+1} \right)$  形式, 已在(1)中说明.

(3) 栈顶为  $\left( \frac{k_n, k_{n-1}, \dots, k_i, \dots, 0, 0, x}{n+1} \right)$  形式, 接下来需要计算的 Hyper-Ackermann 函数为  $F_{\omega^n \cdot k_n + \omega^{n-1} \cdot k_{n-1} + \dots + \omega^i \cdot k_i}(x)$  且  $i \neq 0$ . 应用  $r_3$  生成新栈顶  $\left( \frac{k_n, k_{n-1}, \dots, k_i-1, x+1, \dots, 0, 0, x}{n+1} \right)$ , 即  $F_{\omega^n \cdot k_n + \omega^{n-1} \cdot k_{n-1} + \dots + \omega^i \cdot (k_i-1) + \omega^{i-1} \cdot (x+1)}(x)$ , 与 Hyper 函数计算规则  $F_\lambda(n) = F_{\lambda_n}(n)$ ,  $\lambda < \omega^\omega$  保持一致.

但是, 因为  $M_r$  的迁移规则具有单调性, 相比正确的格局迁移, 可能存在错误的格局迁移, 如应使用  $r_3$  却使用了  $r_4$ , 表明  $F_{\omega^n \cdot k_n + \omega^{n-1} \cdot k_{n-1} + \dots + \omega^i \cdot k_i}(x)$  且  $i \neq 0$  的值直接被看作  $x$  进行后续计算, 造成数据丢失. 如果在格局迁移过程中没有任何数据丢失, 则当格局处于  $\left\langle \bullet, \left( \frac{0, 0, \dots, 0, 0, x}{n+1} \right) \perp \right\rangle$  时  $x+1$  就是正确的结果. 证毕.  $\square$

例 4.1: 利用引理 4.1 计算  $hyper(1) = F_{\omega^\omega}(1) = F_{\omega^2}(1)$ , 以验证其正确性. 相关的格局迁移序列如下(这里, 仅列出栈上的迁移, 因只有一个状态):

$$\begin{aligned} (2, 0, 0, 1) \perp &\xrightarrow{r_3} (1, 2, 0, 1) \perp \xrightarrow{r_1} (1, 1, 1, 1) \perp \xrightarrow{r_2} (1, 1, 0, 1)(1, 1, 0, 1) \perp \xrightarrow{r_1} (1, 0, 1, 1)(1, 1, 0, 1) \perp \\ &\xrightarrow{r_2} (1, 0, 0, 1)(1, 0, 0, 1)(1, 1, 0, 1) \perp \xrightarrow{r_3} (0, 2, 0, 1)(1, 0, 0, 1)(1, 1, 0, 1) \perp \xrightarrow{r_1} (0, 1, 1, 1)(1, 0, 0, 1)(1, 1, 0, 1) \perp \\ &\xrightarrow{r_2} (0, 1, 0, 1)(0, 1, 0, 1)(1, 0, 0, 1)(1, 1, 0, 1) \perp \xrightarrow{r_1} (0, 0, 1, 1)(0, 1, 0, 1)(1, 0, 0, 1)(1, 1, 0, 1) \perp \\ &\xrightarrow{r_2} (0, 0, 0, 1)(0, 0, 0, 1)(0, 1, 0, 1)(1, 0, 0, 1)(1, 1, 0, 1) \perp \xrightarrow{r_4} (0, 0, 0, 2)(0, 1, 0, 1)(1, 0, 0, 1)(1, 1, 0, 1) \perp \\ &\xrightarrow{r_4} (0, 1, 0, 3)(1, 0, 0, 1)(1, 1, 0, 1) \perp \xrightarrow{r_1} (0, 0, 3, 3)(1, 0, 0, 1)(1, 1, 0, 1) \perp \\ &\xrightarrow{r_2} (0, 0, 0, 3)(0, 0, 2, 3)(1, 0, 0, 1)(1, 1, 0, 1) \perp \xrightarrow{r_4} (0, 0, 2, 4)(1, 0, 0, 1)(1, 1, 0, 1) \perp \\ &\xrightarrow{r_2} (0, 0, 0, 4)(0, 0, 1, 4)(1, 0, 0, 1)(1, 1, 0, 1) \perp \xrightarrow{r_4} (0, 0, 1, 5)(1, 0, 0, 1)(1, 1, 0, 1) \perp \\ &\xrightarrow{r_2} (0, 0, 0, 5)(0, 0, 0, 5)(1, 0, 0, 1)(1, 1, 0, 1) \perp \xrightarrow{r_4} (0, 0, 0, 6)(1, 0, 0, 1)(1, 1, 0, 1) \perp \\ &\xrightarrow{r_4} (1, 0, 0, 7)(1, 1, 0, 1) \perp \xrightarrow{r_3} (0, 8, 0, 7)(1, 1, 0, 1) \perp \xrightarrow{r_1} (0, 7, 7, 7)(1, 1, 0, 1) \perp \xrightarrow{r_2} \dots \end{aligned}$$

最后的  $(0, 7, 7, 7)(1, 1, 0, 1)$  表示  $F_{\omega+1}(F_7^8(7))$ , 之后继续利用迁移规则计算, 直至计算至栈中为  $(0, 0, 0, x) \perp$  时,  $x+1$



为  $hyper(1)$  的值.

## 4.2 逆向弱计算 Hyper-Ackermann 函数

如果仅仅把  $M_r$  的迁移规则反过来,就构造了逆向弱计算 Hyper-Ackermann 值对应参数的良结构下推系统  $M_{r^{-1}}$ . 给定一个 Hyper-Ackermann 的值,初始格局是  $\langle \bullet, \left( \underbrace{0, 0, \dots, 0}_{n+1}, 0, x-1 \right) \perp \rangle$  (这里的  $n$  可任意,但是一旦给定一个  $n$ ,之后的栈上的元素都是固定维度的),只要可到达  $\langle \bullet, \left( \underbrace{n+1, 0, \dots, 0}_{n+1}, 0, n \right) \perp \rangle$ , 最后的  $n$  就是对应  $hyper(n)=x$  的参数  $n$ . 虽然  $M_{r^{-1}}$  的规则是单调的,但每次错误的计算都会造成最后得到比正确的参数  $n$  还要小的参数值.

**引理 4.2.**  $M_{r^{-1}}$  可逆向弱计算 Hyper-Ackermann 函数.

**定理 4.** 给定特定的良结构下推系统,其状态集有限,栈字符集为  $n+3$  维的良拟序集,则其可覆盖性问题的下界是 Hyper-Ackermann 难的.

证明:因为重置 0 操作是单调的, $n+3$  维的良结构下推系统可以作为  $M^b, M^p, M_r$  和  $M_{r^{-1}}$  共同构成良结构下推系统.由定理 3 可得,当其可覆盖性问题得到解决时,  $M_{CM}^b$  中必然存在  $\langle p_0, (0, 0, hyper(n)) \rangle \mapsto^* \langle p_f, (0, 0, hyper(n)) \rangle$  的格局迁移序列.因后者是 Hyper-Ackermann 难的,所以该良结构下推系统的可覆盖性问题的下界是 Hyper-Ackermann 难的.证毕.  $\square$

## 5 下推向量加法系统的可覆盖性问题的下界的重新证明

本节考虑良结构下推系统的子模型:状态为向量而栈字符为有限集,即  $M = \langle P = \mathbb{N}^3, |\Gamma| < \infty, \Delta \rangle$ , 即下推向量加法系统.该模型可正向和逆向弱计算  $\underbrace{2^{2^{\cdot^{\cdot^2}}}}_n$  的值.由定理 3 可得,其可覆盖性问题是 TOWER 难的.

### 5.1 (正向)弱计算 $\underbrace{2^{2^{\cdot^{\cdot^2}}}}_n$ 函数

给定一个良结构下推系统  $M_p = \langle \mathbb{N}^3, (\{a, \perp\}, \ll), \Delta \rangle$ , 其中,状态集为 3 维自然数向量的集合,栈字符集为单字符集,迁移规则  $\Delta = \begin{cases} r_1 : ((n, 0, x), \varepsilon) \rightarrow ((n-1, x, x), \varepsilon) \\ r_2 : ((n, t, x), \varepsilon) \rightarrow ((n, t-1, x+1), \varepsilon) \\ r_3 : ((0, 0, x), a) \rightarrow ((x-1, 0, 2), \varepsilon) \end{cases}$ .

**引理 5.1.**  $M_p$  可弱计算  $\underbrace{2^{2^{\cdot^{\cdot^2}}}}_n$  函数,且

$$\underbrace{2^{2^{\cdot^{\cdot^2}}}}_n = \begin{cases} \max \left\{ x \mid \left\langle (1, 0, 2), \underbrace{aa \dots a}_{n-2} \perp \right\rangle \mapsto^* \langle (0, 0, x), \perp \rangle \right\}, & n \geq 2 \\ 2, & n = 1 \end{cases}$$

其中,  $\perp$  为栈底元素.

证明:对格局  $\langle (n, t, x), \omega \perp \rangle$  有:  $t=0$  时表示需要对  $x$  进行  $n$  次翻倍操作,即求  $x \times 2^n$ ,需使用规则  $r_1$ ;  $t \neq 0$  时表示需要把  $t$  的值加到  $x$  上,需连续使用  $r_2$ . 以下运用数学归纳法证明.

- 当  $n=1$  时显然成立;
- 当  $n=2$  时,  $tower(2)=2^2=4$ . 对  $M_p$  有如下格局迁移序列:  $\langle (1, 0, 2), \perp \rangle \xrightarrow{r_1} \langle (0, 2, 2), \perp \rangle \xrightarrow{r_2} \langle (0, 1, 4), \perp \rangle \xrightarrow{r_2} \langle (0, 0, 4), \perp \rangle$ .
- 假设  $n=k$  时题设成立,则有  $\underbrace{2^{2^{\cdot^{\cdot^2}}}}_k = \max \left\{ x \mid \left\langle (1, 0, 2), \underbrace{aa \dots a}_{k-2} \perp \right\rangle \mapsto^* \langle (0, 0, x), \perp \rangle \right\}$  成立,则当  $n=k+1$  时,起始格局为  $\langle (1, 0, 2), \underbrace{aa \dots a}_{k-1} \perp \rangle$ , 由 3 条迁移规则可得,在格局迁移的过程中,会迁移到格局为  $\langle (0, 0, x), a \perp \rangle$  且  $x = \underbrace{2^{2^{\cdot^{\cdot^2}}}}_k$ . 那么,之后的格局迁移为

$$\begin{aligned} & \langle (0,0,x), a \perp \rangle \xrightarrow{r_3} \langle (x-1,0,2), \perp \rangle \xrightarrow{r_1} \langle (x-2,2,2), \perp \rangle \xrightarrow{r_2} \langle (x-2,0,4), \perp \rangle \xrightarrow{r_1} \langle (x-3,0,8), \perp \rangle \\ & \xrightarrow{r_1} \langle (x-4,0,16), \perp \rangle \xrightarrow{r_1} \langle (x-4,0,16), \perp \rangle \xrightarrow{r_2} \langle (x-4,0,16), \perp \rangle \xrightarrow{r_2} \langle (0,0,2 \times 2^{(x-1)}), \perp \rangle = \langle (0,0,2^x), \perp \rangle \end{aligned}$$

对应的 tower(k+1) 的值是  $2^x = 2^{\frac{2^{2^{k+1}}-2}{k+1}}$ , 即  $n=k+1$  时成立.

但是, 因为  $M_p$  的迁移规则具有单调性, 相比正确的格局迁移, 可能存在如下情况的错误的格局迁移, 造成数据丢失.

- 当  $n>0, t>0$  时, 用了  $r_1$  而不是  $r_2$ , 即  $x+t$  被认为是  $x$  进行后续计算.
- 当  $n>0, t>0$  时, 用了  $r_3$  而不是  $r_2$ , 即  $(x+t) \times 2^n$  被认为是  $x$  进行后续计算.
- 当  $n=0, t>0$  时, 用了  $r_3$  而不是  $r_2$ , 即  $x+t$  被认为是  $x$  进行后续计算.
- 当  $n>0, t=0$  时, 用了  $r_3$  而不是  $r_1$ , 即  $x \times 2^n$  被认为是  $x$  进行后续计算.

如果在格局迁移过程中没有任何的数据丢失, 则当格局处于  $\langle (0,0,x), \perp \rangle$  时  $x$  就是正确的结果. 证毕. □

例 5.1: 利用引理 5.1 计算  $2^{2^2}$ , 以验证其正确性. 相关的格局迁移序列如下:

$$\begin{aligned} & \langle (1,0,2), a \perp \rangle \xrightarrow{r_1} \langle (0,2,2), a \perp \rangle \xrightarrow{r_2} \langle (0,0,4), a \perp \rangle \xrightarrow{r_3} \langle (3,0,2), \perp \rangle \\ & \xrightarrow{r_1} \langle (2,2,2), \perp \rangle \xrightarrow{r_2} \langle (2,0,4), \perp \rangle \xrightarrow{r_1} \langle (1,4,4), \perp \rangle \\ & \xrightarrow{r_2} \langle (1,0,8), \perp \rangle \xrightarrow{r_1} \langle (0,8,8), \perp \rangle \xrightarrow{r_2} \langle (0,0,16), \perp \rangle \end{aligned}$$

因此,  $2^{2^2} = 16$ .

### 5.2 逆向弱计算 $2^{\frac{2^{2^n}-2}{n}}$ 函数

如果仅仅把  $M_p$  的迁移规则反过来, 就构造了逆向弱计算  $2^{\frac{2^{2^n}-2}{n}}$  值对应参数的良结构下推系统  $M_{p^{-1}}$ . 给定一个  $2^{\frac{2^{2^n}-2}{n}}$  值  $x$ , 初始格局是  $\langle (0,0,x), \perp \rangle$ , 只要可到达  $\langle (1,0,2), \frac{aa \dots a}{n} \perp \rangle$ , 最后得到的最大的  $n$  (即栈中除去栈底元素外元素的个数) 就是对应  $x$  的参数  $n$  (每次错误的计算都会造成最后得到比正确的参数  $n$  还要小的参数值).

**引理 5.2.**  $M_{p^{-1}}$  可逆向弱计算  $2^{\frac{2^{2^n}-2}{n}}$  函数.

**定理 5.** 给定特定的良结构下推系统, 其状态集为三维的良拟序集, 栈字符集有限, 即三维的下推向量加法系统, 其可覆盖性问题的下界是 TOWER 难的.

证明: 类似定理 4 的证明. 因三维下推向量加法系统可以模拟  $M^b$ . 所以, 由定理 3 可得, 其可覆盖性问题的下界是 TOWER 难的. 证毕. □

## 6 总结以及未来的工作

本文基于良结构下推系统, 采用重置 0 操作, 提出了一种证明模型的下界的通用方法, 证明了  $n$  维的良结构下推系统的可覆盖性问题的下界是 Hyper-Ackermann 难的, 还将其与程序中的全局变量或局部变量的个数相对应, 表明了有  $n$  个局部变量的程序的可达性分析问题是很难的, 为分析含无限定义域的变量 (如整数域) 的程序时采取重置 0 操作持否定态度, 鼓励将无限定义域限制在有限定义域处理. 本文还重新证明了下推向量加法系统在三维情况下其可覆盖性问题就可达到 TOWER 难.

未来希望能够推广这种证明模型可覆盖性难度下界的方法, 探索更多向量加法系统的拓展模型的下界或比已知下界更高的下界. 同时, 寻求证明良结构下推系统的可覆盖性问题难度的上界, 形成证明上界的一般性方法并对其进行其他模型的应用推广. 再进一步探究良结构下推系统的可覆盖性问题的判定性.

**References:**

- [1] Derick WD. *Theory of Computation: A Primer*. Boston: Addison-Wesley Longman Publishing Co., 1987.
- [2] Autebert JM, Berstel J, Boasson L. Context-Free languages and pushdown automata. *Handbook of Formal Languages*, 1997,6(3): 111–174. [doi: 10.1007/978-3-642-59136-5\_3]
- [3] Abdulla PA, Āerāns K, Jonsson B, Tsay YK. Algorithmic analysis of programs with well quasi-ordered domains. *Information and Computation*, 2000,160(1-2):109–127. [doi: 10.1006/inco.1999.2843]
- [4] Cai X, Ogawa M. Well-Structured pushdown systems. In: D’Argenio PR, Melgratti H, eds. *Proc. of the Int’l Conf. on Concurrency Theory*. Berlin: Springer-Verlag, 2013. 121–136. [doi: 10.1007/978-3-642-40184-8\_10]
- [5] Jin Y, Cai XJ, Li GQ. Expressiveness of well-structured pushdown systems. *Journal of Shanghai Jiaotong University*, 2015,49(8):1084–1089 (in Chinese with English abstract). [doi: 10.16183/j.cnki.jsjtu.2015.08.002]
- [6] Leroux J, Praveen M, Sutre G. Hyper-Ackermannian bounds for pushdown vector addition systems. In: Henzinger T, Miller D, eds. *Proc. of the Joint Meeting of the 23rd EACSL Annual Conf. on Computer Science Logic (CSL) and the 29th Annual ACM/IEEE Symp. on Logic in Computer Science (LICS)*. New York: ACM, 2014. Article 63. [doi: 10.1145/2603088.2603146]
- [7] Sen K, Viswanathan M. Model checking multithreaded programs with asynchronous atomic methods. In: Ball T, Jones RB, eds. *Proc. of the Int’l Conf. on Computer Aided Verification*. Berlin: Springer-Verlag, 2006. 300–314. [doi: 10.1007/11817963\_29]
- [8] Kochems J, Luke Ong CH. Safety verification of asynchronous pushdown systems with shaped stacks. In: D’Argenio PR, Melgratti H, eds. *Proc. of the Int’l Conf. on Concurrency Theory*. Berlin: Springer-Verlag, 2013. 288–302. [doi: 10.1007/978-3-642-40184-8\_21]
- [9] Bouajjani A, Emmi M. Analysis of recursively parallel programs. In: Field J, ed. *Proc. of the 39th Annual ACM SIGPLAN-SIGACT Symp. on Principles of Programming Languages*. New York: ACM, 2012. 203–214. [doi: 10.1145/2103621.2103681]
- [10] Lipton RJ. *The reachability problem requires exponential space* [Ph.D. Thesis]. Department of Computer Science, Yale University, 1976.
- [11] Lazic R. *The reachability problem for vector addition systems with a stack is not elementary*. Computer Science, 2013.
- [12] Schnoebelen P. Revisiting Ackermann-Hardness for lossy counter machines and reset Petri nets. *Lecture Notes in Computer Science*, 2010,6281:616–628. [doi: 10.1007/978-3-642-15155-2\_54]
- [13] Haddad S, Schmitz S, Schnoebelen P. The ordinal-recursive complexity of timed-arc Petri nets, data nets, and other enriched nets. In: *Logic in Computer Science*. IEEE, 2012. 355–364. [doi: 10.1109/LICS.2012.46]
- [14] Demri S, Jurdziński M, Lachish O, Lazić R. The covering and boundedness problems for branching vector addition systems. *Journal of Computer and System Sciences*, 2013,79(1):23–38. [doi: 10.1016/j.jcss.2012.04.002]
- [15] Lazić R. The reachability problem for branching vector addition systems requires doubly-exponential space. *Information Processing Letters*, 2010,110(17):740–745. [doi: 10.1016/j.ipl.2010.06.008]
- [16] Bonnet R. The reachability problem for vector addition system with one zero-test. In: Murlak F, Sankowski P, eds. *Mathematical Foundations of Computer Science*. Berlin: Springer-Verlag, 2011. 145–157. [doi: 10.1007/978-3-642-22993-0\_16]
- [17] Lincoln P, Mitchell J, Scedrov A, Shankar N. Decision problems for propositional linear logic. *Annals of Pure and Applied Logic*, 1992,56(1-3):239–311. [doi: 10.1016/0168-0072(92)90075-B]
- [18] Kanovich MI. Petri nets, Horn programs, linear logic, and vector games. *Annals of Pure and Applied Logic*, 1995,75(1-2):107–135. [doi: 10.1016/0168-0072(94)00060-G]
- [19] Raskin JF, Samuelides M, Begin LV. Games for counting abstractions. *Electronic Notes in Theoretical Computer Science*, 2005,128(6):69–85. [doi: 10.1016/j.entcs.2005.04.005]
- [20] Urquhart A. The complexity of decision procedures in relevance logic II. *The Journal of Symbolic Logic*, 1999,64(4):1774–1802. [doi: 10.2307/2586811]
- [21] Cantor G. Ueber unendliche, lineare Punktmannichfaltigkeiten. *Mathematische Annalen*, 1883,21(4):545–591. [doi: 10.1007/BF01446819]
- [22] Minsky ML. *Computation: Finite and Infinite Machines*. Prentice-Hall, Inc., 1967.
- [23] Schmitz S, Schnoebelen P. The power of well-structured systems. In: D’Argenio PR, Melgratti H, eds. *Proc. of the Int’l Conf. on Concurrency Theory*. Berlin: Springer-Verlag, 2013. 5–24. [doi: 10.1007/978-3-642-40184-8\_2]



李春森(1993—),女,陕西商洛人,硕士,主要研究领域为形式化方法,程序语言理论.



李国强(1979—),男,博士,副教授,CCF 专业会员,主要研究领域为形式化方法,理论计算机科学,程序语言理论.



蔡小娟(1982—),女,博士,助理研究员,主要研究领域为形式化方法,程序语言理论.

www.jos.org.cn

www.jos.org.cn